

式倣工業大学 正員 王方一

まえがき： (1). 底球が1層, $d/d_m=1$, 種々の露出比による実験球に関する以前の実験, (2). 底球が2層, 種々の d/d_m , それぞれの d/d_m に対し, 特定の露出比1通りに関する以前の実験, および(3). 底球が1層, 種々の d/d_m , それぞれの d/d_m に対し, 特定の露出比1通りに関する最近の実験などの結果を検討し, 底球が2層, 種々の d/d_m , 種々の露出比をもつ球の始動限界を推定した。その際に定義した遮へい係数の適用範囲は混合粒砂礫流量資料による検算で定めた。

[1]. 始動限界の実験結果： • 実験 A_{01} (文字 A は流向へ離脱する場合を, 文字 1 は底球の層数を, 文字 0 は $d/d_m=1$ すなわち 1 横径の場合を, 文字上に棒印なしは実験球の露出比を種々変化する場合を意味する) の結果は図-1に示す。(水路幅 20 cm, $d_i = dm = 6.6 \text{ mm}$, 比重 2.3) 直線は $\mu = K_{1i} Z_{x1}^T$, $K_{1i} = 200$, $T = 1.301 \dots (1)$ で表わせる。• 実験 \bar{A}_2 (添字 2 は底球 2 層を, 添字 0 なしは d/d_m を変化する場合を, 文字上の棒印は底球を密に配置し, 抵抗をうすくその上に実験球を乗せた特定の露出比の場合を意味する) および実験 \bar{B}_2 (文字 B は実験球が流向と 60°斜めに離脱するように乗せた場合を意味し, 添字 0 の他は \bar{A}_2 に準ずる) の結果は図-2に示す(水路幅 30 cm, $dm = 25 \text{ mm}$, $d/d_m = 1.144 \sim 0.472$ の 7 種類, $\mu = 0.32 \sim 9.635$)。今回行った底球 1 層に関する 3 実験 \bar{A}_1 , \bar{B}_1 の結果は図-3に示す(文字, 添字 0 の他は説明省略)。これら諸直線を 1 つの図に集めると図-4になる。

[2]. 検討： ニ、ゼカリイに, 底球が2層, 離脱が B 方向の場合が実際砂礫の始動状況に似ていると想定して検討することにする。 B_{02} の状態では実験は行わなかったが, A_{01} に平行で, \bar{A}_1 , \bar{B}_2 間の横軸差だけ A_{01} から離れていて参考まで引いて図-4 の B_{02} ($K_{1i} = 165.8$) を得る。また B_{2i} (底球 2 層の上層球を 1 つ抜きとり, 球径 dm の球を種々の露出比にして場合の B 方向離脱) も実験値はないが, ある d/d_m に対する特定露出比時の μ を計算しそれと \bar{B}_2 線との交点を通り B_{02} に平行な線であると假定する。このような線は $\mu = K_{2i} Z_{x2i}^T \dots (2)$ で表わせる。今ある d/d_m 値に対する遮へい係数 K_{2i} を, $\mu = 1$ として式(1)に Z_{x1}^T と式(2)に Z_{x2i}^T の比で定義すれば $K_{2i} = K_{1i}/K_{1i} \dots (3)$ を得る。 $d/d_m = 1$ のとき, $K_{2i} = K_{1i} = 1$ となるのを期待して \bar{B}_2 の代りに \bar{B}_2' を用い, これと B_{02} に基づいて得た $d/d_m \sim K_{2i}$ と $d/d_m \sim K_{1i}$ の関係はそれを図-5, 図-6 に示す。(実験) 図-5 には $K_{2i} = [lg(19d/d_m)]^2 / [lg(19)]^2 + 8.3$ Egiazaroff の曲線を比較のために示されている。実際河床にある粒子の周辺状況と実験球のそれとの相違を考えて昨年の概要集で式(1)の代りに $\mu = K_{1i} K_{2i}^T Z_{x1}^T$, $K_{2i} = a^{[f_{2i}^{\mu}]}$ $\dots (4)$ を用いた。(これは実際の砂礫に対する無次元限界挙動力)。混合粒の場合, $\mu = K_{1i} K_{2i}^T Z_{x1}^T \dots (5)$ で表わすと K_{2i} はやはり式(3)で表わせる。実際に存在しうる最小の μ を $\mu_c = 0.355$ とすると, $a = 0.4$, $b = 0.6$ として式(4)より Z_{x1} を求めれば $Z_{x1} = 0.0191$ を得る。これは一様径の実際河床砂礫の始動限界に相当すると考えられる。

[3]. 混合粒掃流砂量資料による K_{1i} と K_{2i} の検算： 流砂量式は $Q_i = \frac{1}{2} P_i A [(1-Z_{x1}) \sqrt{f_{2i}}]^B$, $P_i = (P_{ai} - P_{ci}) / (1-P_{ci})$, $P_{ai}-P_{ci} = \int_{m_{ci}}^{m_{ai}} f_{2i}(u) du$, $Z_{x1} = 5_i / K_{1i}^{1/2} \sqrt{f_{2i}}$, $S_i = (G_{ai}-G_{ci}) / (P_{ai}-P_{ci})$, $G_{ai}-G_{ci} = \int_{m_{ci}}^{m_{ai}} f_3(u) du$, $f_3(u) = f_{2i}(u) / K_{2i}^{1/2}$, $K_{2i} = a^{[f_{2i}^{\mu}]}$, $f_{2i}(u) = \lambda(u) u^{k-1} e^{-\lambda(u)/b}$ を用いる。たとえば $k=3$, $\lambda=0.92$, $\mu_c=0.355$, $a=0.4$, $b=0.6$ と (2) 一様径に対する上記重み式を用い, Einstein, 芦田道上らの式を基準式として A, B を決定する: $Z_{x1} < 0.045 \text{ } Z^A = 1.445 \times 10^{-13}$, $B = 8.778$; $0.045 < Z_{x1} < 0.4 \text{ } Z^A = 2.742 \times 10^{-13}$, $B = 1.941$; $0.4 < Z_{x1} < 10 \text{ } Z^A = 5.337 \times 10^{-13}$, $B = 2.676$ を得た。次に検算 (2) で図-6 に示す K_{1i} 即ち $d/d_m \leq Z^i$ $K_{1i} = 166 (d/d_m)^{0.836}$, $K_{2i} = (d/d_m)^{0.643} \dots (6a)$; $d/d_m > 1 \text{ } Z^i K_{1i} = 1948 (d/d_m)^{0.004}$, $K_{2i} = (d/d_m)^{0.210} \dots (6b)$ と上記重みと A, Bなどを用い, $\mu_c = \mu_{ei} = 0.355$ として計算すると浅川の石川からの実験値とほぼ近い結果を得た。(6a), (6b) 式による K_{1i} を用いて得た B_{2i} の諸線 ($d/d_m = 2 \sim 0.0125$) は図-7に示す。図-6 で $d/d_m < 0.4$ の範囲における実線による K_{1i} 値が有効でなくなくなるのはこの範囲になると露出比が負となり, 直線する流速が存在せず, $\mu \sim Z_{x1}$ の関係が式(1)と異なる傾向になると可能視があらわれれる。

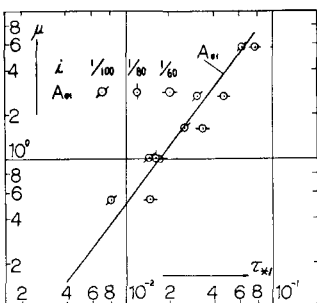


図-1

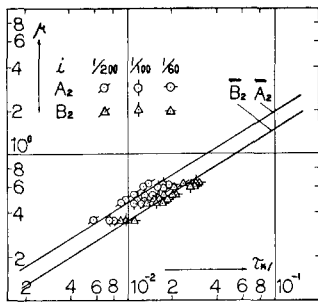


図-2

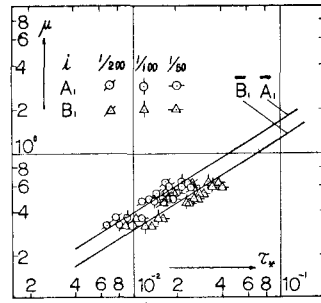


図-3

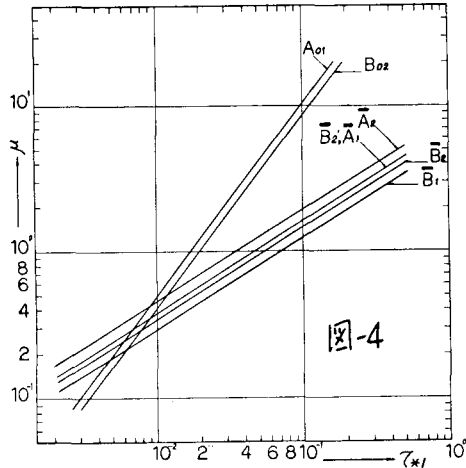


図-4

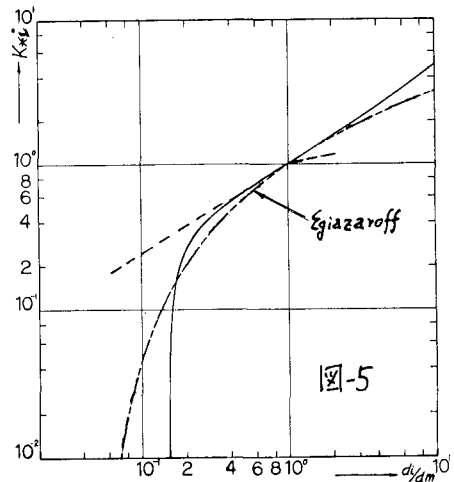


図-5

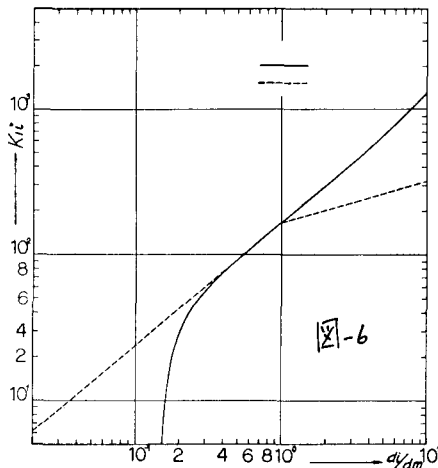


図-6

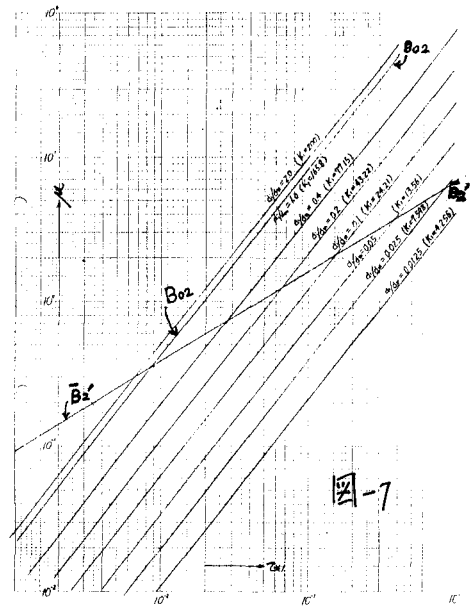


図-7